# DS de S.I.I n°2 Dossier

#### 1. Robot MIR: Contexte

#### A. Présentation

Le robot MIR développé pour la vérification des cuves de Superphénix doit être adapté pour le contrôle d'une nouvelle génération de réacteurs à neutrons rapides.

#### La fonction globale du robot MIR est :

- d'assurer le contrôle surfacique télévisuel des soudures des deux cuves et des zones adjacentes ;
- d'assurer le contrôle volumique par ultrasons des soudures de la cuve principale et des zones adjacentes. Une possibilité était offerte d'effectuer ce contrôle sur la cuve de sécurité ;
- de mesurer en permanence la distance entre les deux cuves.

Pour cela, le robot se déplace dans l'espace inter-cuve, entre la cuve principale et la cuve de sécurité.

Lorsque le robot évolue dans l'espace inter-cuve, il est en permanence relié à **un filin de traction et à un ombilical** par lequel transitent la puissance électrique, les signaux d'information et différents gaz dont celui nécessaire au refroidissement. Pour garantir un bon enroulement de l'ombilical, **un système de treuil** est installé au-dessus de la dalle du réacteur.

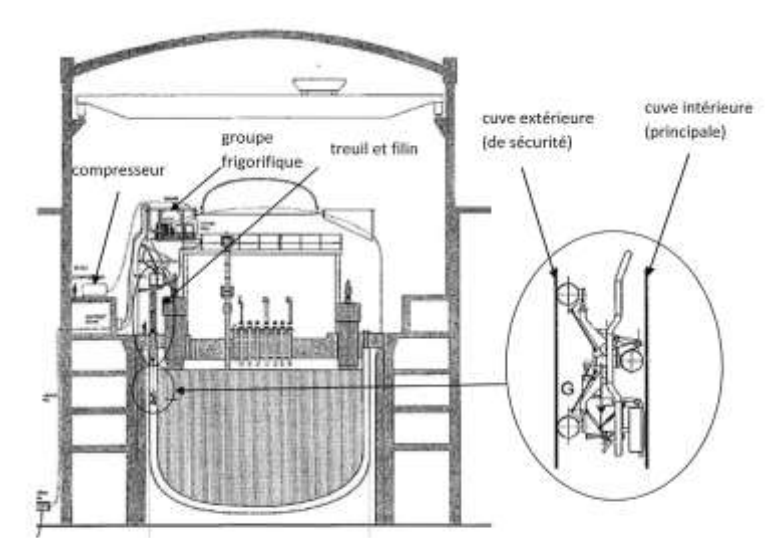


Figure 1.1: schéma d'implantation des sous-ensembles du MIR lors d'une intervention.

### **B.** Description et exigences

Le robot MIR est un véhicule motorisé composé d'un châssis tubulaire, de quatre bras articulés et des composants nécessaires à la mise en œuvre des contrôles et mesure. La structure est en acier inoxydable. La masse est d'environ 180 kg.

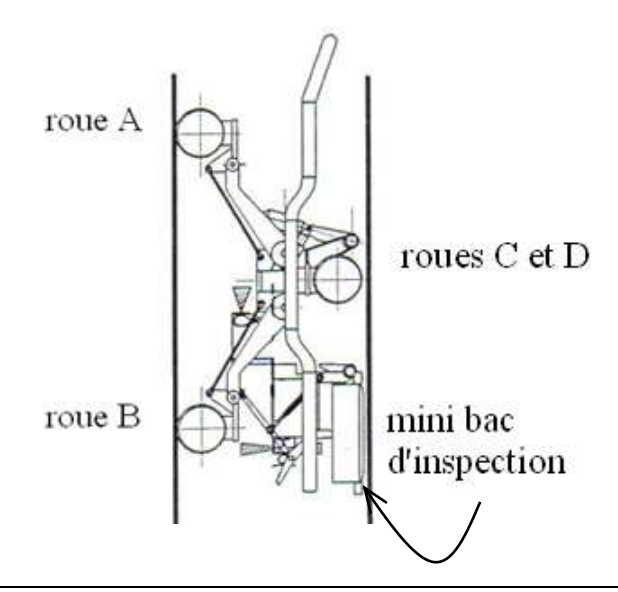


Figure 1.2 : robot MIR en position déployée.

#### C. Données supplémentaires, hypothèses et problématique

Le robot MIR étant à l'arrêt entre les deux cuves, le mini bac, qui contient les appareils de contrôle, est plaqué contre la paroi de la cuve à contrôler. Pour l'inspection des soudures, le transducteur  $\underline{13}$  (capteur de l'état des soudures) doit se déplacer à l'intérieur du mini bac d'inspection à vitesse constante. Le mini bac est rempli d'un fluide visqueux. L'inspection peut avoir lieu pour n'importe quelle position du robot MIR, donc l'angle  $\alpha$  qui caractérise la direction du déplacement du transducteur par rapport à l'horizontale, est susceptible de prendre toute valeur comprise entre  $-\pi/2$  (robot tête en bas) et  $\pi/2$  (robot tête en haut). Afin de garantir la qualité des résultats de mesure, le transducteur doit donc se déplacer à une vitesse  $V_0$  constante par rapport à la paroi, et ceci pour toute valeur de l'angle  $\alpha$ .

Problématique : Qualifier la précision statique du système

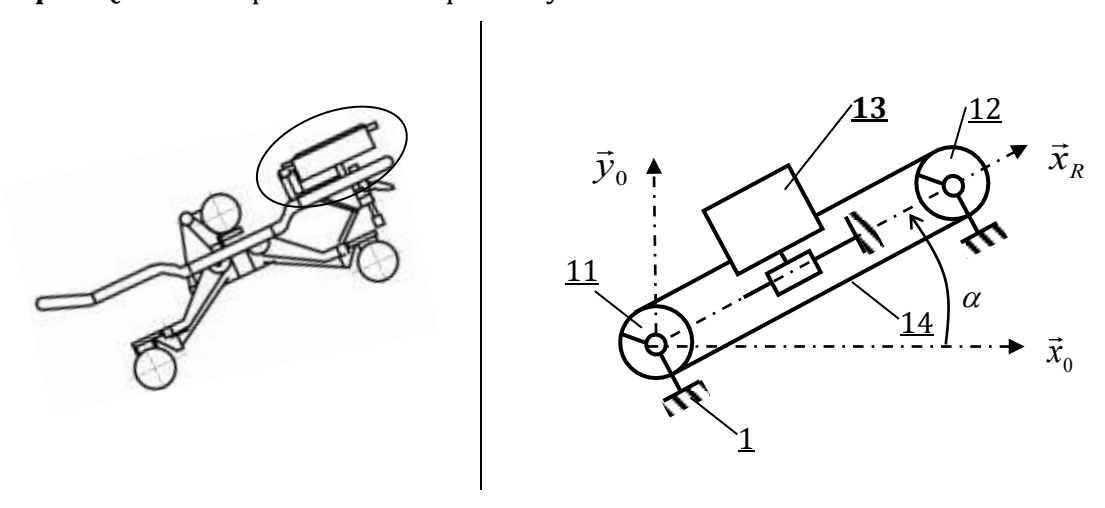


Figure 1.3 : schéma de l'intérieur du mini bac d'inspection.

On adopte pour la suite la modélisation suivante :

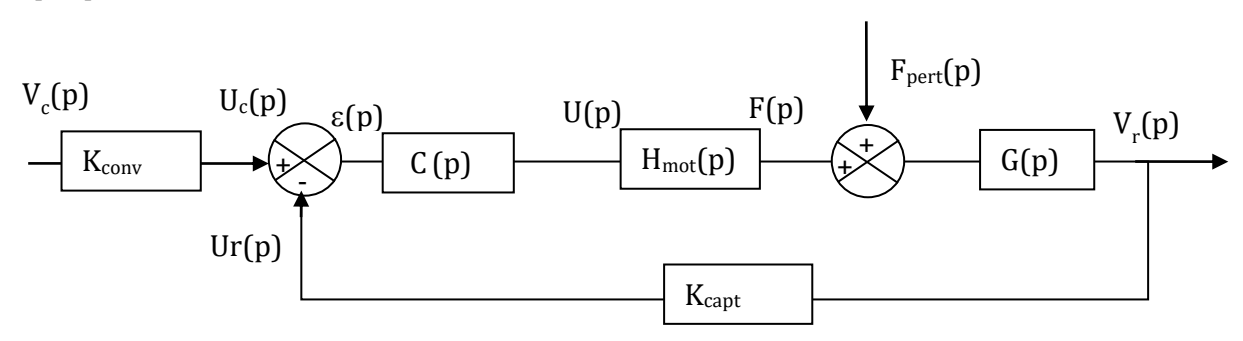


Figure 1.4

 $\text{Avec}: \ H_{mot}(p) = \frac{K_m}{1 + \tau_m.\,p} \quad \text{, } G(p) = \frac{K}{1 + \tau.\,p} \quad \text{et} \quad C(p) = K_{cor} \quad \text{(fonction de transfert du correcteur)}$ 

 $K_{capt}$ : gain pur du capteur;  $K_{conv}$ : gain pur du convertisseur

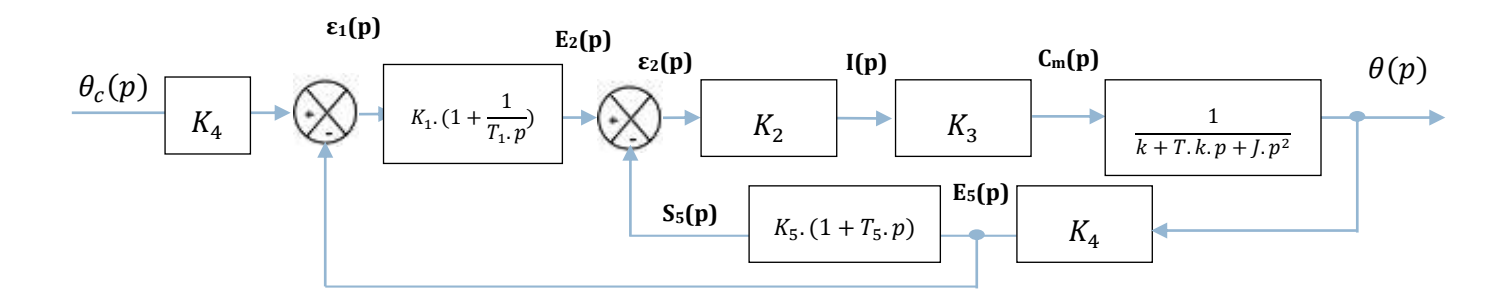
#### **Notations:**

- $V_r(p)$  est la transformée de Laplace de  $v_r(t)$  vitesse de translation réelle du transducteur <u>13</u>.
- $F_{pert}(p)$  est la transformée de Laplace de la perturbation  $f_{pert}(t)$

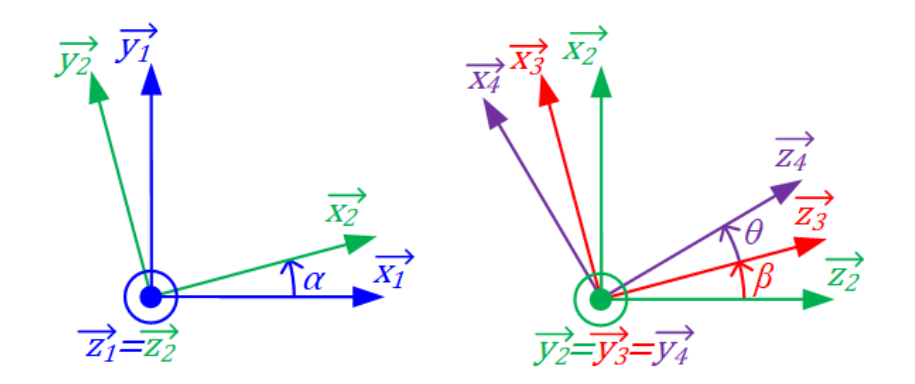
## 2. Questions de cours de SLCI

### 3. Miroir tilt

Le schéma-blocs du miroir TILT est donné ci-dessous (vu en TD).



## 4. Questions de cours de cinématique du solide



$$\alpha = (\overrightarrow{x_1}, \overrightarrow{x_2}); \beta = (\overrightarrow{z_2}, \overrightarrow{z_3});$$
  
 $\theta = (\overrightarrow{z_3}, \overrightarrow{z_4})$ 

Figure 4.1

Brouillon: